

**Internationaler
ChemieOlympiade**



Klausur

**zur 2. Runde des Auswahlverfahrens zur 58. IChO 2026
in Taschkent (Usbekistan)**

	Schülercode:
	Bundesland:

Bearbeitungshinweise:

- Diese Klausur umfasst **29 Seiten** mit insgesamt **8 Aufgaben**, einer **Formelsammlung** und einem **PSE**. Bitte kontrolliere am Anfang der Bearbeitungszeit, dass diese Angabe vollständig ist.
- Überprüfe am Anfang der Arbeitszeit, ob dein **Schülercode** sowie dein **Bundesland** auf diesem Deckblatt sowie auf allen Seiten der Klausur korrekt ist.
- Die **Bearbeitungszeit** für diese Klausur beträgt **180 Minuten**.
- Schreibe deine Ergebnisse ausschließlich in die zugehörigen **Kästen** in dieser Angabe; alles außerhalb der Kästen wird nicht gewertet. Benutze die freien Rückseiten dieser Angabe als **Schmierpapier**.
- Es werden nur Ergebnisse gewertet, bei denen der **Lösungsweg** klar erkennbar ist.
- Wenn in längeren Aufgaben **Zwischenergebnisse** der Form „**Weiter mit: ...**“ gegeben sind, rechne mit diesen weiter und grundsätzlich **nicht mit deinen eigenen Zwischenergebnissen**.

- Verwende für **Naturkonstanten** und **Atommassen** ausschließlich die Werte aus den gegebenen Hilfsmitteln (Formelsammlung / PSE).
- Bearbeite diese Klausur ausschließlich mit **dokumentenechten Stiften** (z.B. Füller, Kugelschreiber). Antworten mit Bleistift werden nicht gewertet. Verwende keine roten oder grünen Stifte.
- Streiche **falsche Ergebnisse** durch und mache eindeutig kenntlich, welches Ergebnis gewertet werden soll. Verwende **keinen Tintenkiller oder Korrekturmaus**. Bei Ankreuzaufgaben kannst du ein Kreuz ungültig machen, indem du die Ankreuzbox vollständig ausmalst.
- Neben Schreibgeräten, Lineal / Geodreieck ist in dieser Klausur als **Hilfsmittel** ausschließlich ein **nicht grafikfähiger Taschenrechner** zugelassen. Schalte unerlaubte Hilfsmittel ggf. aus, verstau sie in deiner Tasche und verschließe diese.
- Abgesehen von der Formelsammlung und dem PSE ist das Heraustrennen von Seiten aus dieser Klausur untersagt. Gib am Ende der Arbeitszeit **alle** Seiten dieser Angabe wieder in der richtigen Reihenfolge ab.
- Das Beschriften der QR-Codes, der Eckmarkierungen sowie der Korrekturspalten am rechten Rand der Bearbeitungskästen ist untersagt.



- Kreuze bei **Multiple-Choice-Aufgaben** die korrekte(n) Antwort(en) mit einem Kreuz an. Ein Kreuz kann gestrichen werden, indem das Kästchen vollständig ausgemalt wird. Gestrichene Antworten können durch die unten gezeigte Markierung wieder angekreuzt werden.

\triangleq angekreuzt

\triangleq nicht angekreuzt

\triangleq angekreuzt

Formelsammlung

Stöchiometrie und Analytik			
<i>Stoffmenge</i>	$n = \frac{m}{M} = \frac{V}{V_m} = \frac{N}{N_A}$	<i>Licht / Photonen</i>	$v = \frac{E}{h} = \frac{c}{\lambda}$
<i>Konzentration / Massenkonz.</i>	$c = \frac{n}{V}; \beta = \frac{m}{V}$	<i>Massenanteil A in A_aB_b</i>	$\omega_A = \frac{a \cdot M_A}{M_{A_aB_b}}$
<i>LAMBERT-BEER'sches Gesetz</i>	$A = -\log_{10}\left(\frac{I}{I_0}\right) = \varepsilon \cdot c \cdot d$		

Gase			
<i>Ideales Gasgesetz</i>	$p \cdot V = n \cdot R \cdot T$	<i>DALTON-Gesetz</i>	$p_{ges} = p_A + p_B + \dots$

Thermodynamik			
<i>Innere Energie</i>	$\Delta U = C_V \cdot \Delta T$	<i>Reaktionsenthalpie</i>	$\Delta_f H^\circ = \sum \Delta_f H^\circ_{\text{Produkte}} - \sum \Delta_f H^\circ_{\text{Edukte}}$
<i>Enthalpie</i>	$H = U + pV$ $\Delta H = C_p \cdot \Delta T$	<i>Reaktionsentropie</i>	$\Delta_f S^\circ = \sum S^\circ_{\text{Produkte}} - \sum S^\circ_{\text{Edukte}}$
<i>Freie Enthalpie</i>	$\Delta G^\circ = \Delta H^\circ - T \cdot \Delta S^\circ$	<i>GIBBS'sche Phasenregel</i>	$f = K - P + 2$

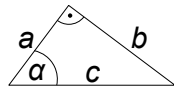
Gleichgewichte			
<i>Massenwirkungsgesetz</i> $a A + b B \rightleftharpoons c C + d D$	$K = \frac{a_C^c \cdot a_D^d}{a_A^a \cdot a_B^b}$	<i>Löslichkeitsprodukt</i> $A_aB_b \rightleftharpoons a A^{x+} + b B^{y-}$	$K_L = c_{A^{x+}}^a \cdot c_{B^{y-}}^b$
<i>Vereinfachungen für die Aktivität a_X:</i>	<ul style="list-style-type: none"> <i>Feststoffe und Flüssigkeiten:</i> $a_X = 1$ <i>Verdünnnte Lösungen:</i> $a_X \approx \frac{c_X}{c_0}; c_0 = 1 \frac{\text{mol}}{\text{L}}$ <i>Gase:</i> $a_X \approx \frac{p_X}{p_0}; p_0 = 1 \text{ bar}$ 	<i>Freie Enthalpie</i>	$\Delta G^\circ = -R \cdot T \cdot \ln(K)$

Säure-Base-Gleichgewichte			
<i>pH/pOH-Wert</i>	$pH = -\log_{10}(c_{H^+})$ $pOH = -\log_{10}(c_{OH^-})$ $pH + pOH = 14$	<i>Näherungsformel starke Säuren/Basen</i>	$pH \approx -\log_{10}(c_0)$ $pOH \approx -\log_{10}(c_0)$
<i>Säure- / Basenstärke</i>	$K_S = \frac{c_{A^-} \cdot c_{H^+}}{c_{HA}}$; $K_B = \frac{c_{BH^+} \cdot c_{OH^-}}{c_B}$ $pK_{S/B} = -\log_{10}(K_{S/B})$ $pK_S + pK_B = 14$	<i>Näherungsformel schwache Säuren/Basen</i>	$pH \approx \frac{1}{2} \cdot (pK_S - \log_{10}(c_0))$ $pOH \approx \frac{1}{2} \cdot (pK_B - \log_{10}(c_0))$
<i>HENDERSSON-HASSELBALCH-Gleichung</i>	$pH = pK_S + \log_{10}\left(\frac{c_{A^-}}{c_{HA}}\right)$		

Organische Chemie	
<i>Doppelbindungsäquivalent</i> $C_cN_nH_hO_oX_x$ ($X = \text{Halogen}$)	$DBÄ = \frac{2 \cdot c + n - h - x + 2}{2}$

Elektrochemie		
Zellspannung $\Delta E = E_{Kathode} - E_{Anode}$	NERNST-Gleichung $Ox + z e^- \rightleftharpoons Red$	$E = E^\circ + \frac{R \cdot T}{z \cdot F} \cdot \ln \left(\frac{\prod a_{Ox}}{\prod a_{Red}} \right)$
Freie Enthalpie $\Delta G^\circ = -E \cdot z \cdot F$	FARADAY-Gesetz	$Q = I \cdot \Delta t = z \cdot F \cdot n$
Elektrische Leistung $P_{el} = U \cdot I$	Elektrische Energie	$E_{el} = U \cdot I \cdot \Delta t = U \cdot Q$

Kinetik		
Reaktionsgeschwindigkeit $r = \frac{1}{v_i} \frac{dc_i}{dt}$	Zeitgesetze:	
Geschwindigkeitsgesetz $r = k \cdot c_A^x \cdot c_B^y \cdot \dots$	<ul style="list-style-type: none"> o. Ordnung 1. Ordnung 2. Ordnung 	$c = c_0 - k \cdot t$ $c = c_0 \cdot e^{-k \cdot t}$ $c^{-1} = c_0^{-1} + k \cdot t$
ARRHENIUS-Gleichung $k = A \cdot e^{-\frac{E_A}{R \cdot T}}$		

Mathematik		
Kugel $V = \frac{4}{3}\pi \cdot r^3$ $A = 4\pi \cdot r^2$	Quadratische Gleichung $a \cdot x^2 + b \cdot x + c = 0$	$x = \frac{-b \pm \sqrt{b^2 - 4 \cdot a \cdot c}}{2 \cdot a}$
Rechtwinkliges Dreieck 	$a^2 + b^2 = c^2$ $\sin(\alpha) = \frac{b}{c}; \cos(\alpha) = \frac{a}{c}; \tan(\alpha) = \frac{b}{a}$	Logarithmen $\log_x(a \cdot b) = \log_x a + \log_x b$ $\log_x(a^n) = n \cdot \log_x a$

Einheiten		
Druck 1 atm = $1,013 \cdot 10^5$ Pa 1 bar = 10^5 Pa	Volumen	$1 L = 10^{-3} m^3$
Temperatur $\vartheta / ^\circ C = T / K - 273,15$	Masse	$1 u = 1,6605 \cdot 10^{-27} kg$
Längen $1 \text{ \AA} = 10^{-10} m$	Vorsätze	pico/p: 10^{-12} ; nano/n: 10^{-9} mikro/μ: 10^{-6} ; milli/m: 10^{-3}

Naturkonstanten		
Lichtgeschwindigkeit $c = 3,00 \cdot 10^8 \frac{m}{s}$	FARADAY-Konstante	$F = 96485 \frac{C}{mol}$
Gaskonstante $R = 8,314 \frac{J}{mol \cdot K}$	Elementarladung	$e = 1,602 \cdot 10^{-19} C$
AVOGADRO-Konstante $N_A = 6,022 \cdot 10^{23} \frac{1}{mol}$	PLANCK'sches Wirkungsquantum	$h = 6,626 \cdot 10^{-34} J \cdot s$

1	1 H K 1,008	2	
	1 H K 1,008	4	
	3 Li 1,608		
	2 Be 9,012		

Gruppe	Ordnungszahl	Symbol	Atomgewicht
Periode			
1	1	H	1.008
	1	K	

1	H	K	1,008	2	Gruppe	1	Ordnungszahl	Symbol	1	He	K
2	Li	Be	4	3	Periode	1	1,008	Atomgewicht	2	Ne	L
3	Na	Mg	12	11					10	F	
4	K	Ca	20	19					17	Ne	18
5	Rb	Sr	38	37					18	Ar	17
6	Cs	Ba	56	55					10	He	4,003
7	Fr	Ra	88	87					10	He	2
8	Rf	Db	226,03	223,02					10	He	1
9	g	g	294,21	293,20					10	He	1
10	g	g	289,19	288,18					10	He	1
11	g	g	286,18	285,18					10	He	1
12	g	g	281,17	281,17					10	He	1
13	g	g	269,13	270,13					10	He	1
14	g	g	278,16	281,16					10	He	1
15	g	g	269,13	269,13					10	He	1
16	g	g	270,13	270,13					10	He	1
17	g	g	269,13	269,13					10	He	1
18	g	g	269,13	269,13					10	He	1
19	g	g	269,13	269,13					10	He	1
20	g	g	269,13	269,13					10	He	1
21	g	g	269,13	269,13					10	He	1
22	g	g	269,13	269,13					10	He	1
23	g	g	269,13	269,13					10	He	1
24	g	g	269,13	269,13					10	He	1
25	g	g	269,13	269,13					10	He	1
26	g	g	269,13	269,13					10	He	1
27	g	g	269,13	269,13					10	He	1
28	g	g	269,13	269,13					10	He	1
29	g	g	269,13	269,13					10	He	1
30	g	g	269,13	269,13					10	He	1
31	g	g	269,13	269,13					10	He	1
32	g	g	269,13	269,13					10	He	1
33	g	g	269,13	269,13					10	He	1
34	g	g	269,13	269,13					10	He	1
35	g	g	269,13	269,13					10	He	1
36	g	g	269,13	269,13					10	He	1
37	g	g	269,13	269,13					10	He	1
38	g	g	269,13	269,13					10	He	1
39	g	g	269,13	269,13					10	He	1
40	g	g	269,13	269,13					10	He	1
41	g	g	269,13	269,13					10	He	1
42	g	g	269,13	269,13					10	He	1
43	g	g	269,13	269,13					10	He	1
44	g	g	269,13	269,13					10	He	1
45	g	g	269,13	269,13					10	He	1
46	g	g	269,13	269,13					10	He	1
47	g	g	269,13	269,13					10	He	1
48	g	g	269,13	269,13					10	He	1
49	g	g	269,13	269,13					10	He	1
50	g	g	269,13	269,13					10	He	1
51	g	g	269,13	269,13					10	He	1
52	g	g	269,13	269,13					10	He	1
53	g	g	269,13	269,13					10	He	1
54	g	g	269,13	269,13					10	He	1
55	g	g	269,13	269,13					10	He	1
56	g	g	269,13	269,13					10	He	1
57	g	g	269,13	269,13					10	He	1
58	g	g	269,13	269,13					10	He	1
59	g	g	269,13	269,13					10	He	1
60	g	g	269,13	269,13					10	He	1
61	g	g	269,13	269,13					10	He	1
62	g	g	269,13	269,13					10	He	1
63	g	g	269,13	269,13					10	He	1
64	g	g	269,13	269,13					10	He	1
65	g	g	269,13	269,13					10	He	1
66	g	g	269,13	269,13					10	He	1
67	g	g	269,13	269,13					10	He	1
68	g	g	269,13	269,13					10	He	1
69	g	g	269,13	269,13					10	He	1
70	g	g	269,13	269,13					10	He	1
71	g	g	269,13	269,13					10	He	1
72	g	g	269,13	269,13					10	He	1
73	g	g	269,13	269,13					10	He	1
74	g	g	269,13	269,13					10	He	1
75	g	g	269,13	269,13					10	He	1
76	g	g	269,13	269,13					10	He	1
77	g	g	269,13	269,13					10	He	1
78	g	g	269,13	269,13					10	He	1
79	g	g	269,13	269,13					10	He	1
80	g	g	269,13	269,13					10	He	1
81	g	g	269,13	269,13					10	He	1
82	g	g	269,13	269,13					10	He	1
83	g	g	269,13	269,13					10	He	1
84	g	g	269,13	269,13					10	He	1
85	g	g	269,13	269,13					10	He	1
86	g	g	269,13	269,13					10	He	1
87	g	g	269,13	269,13					10	He	1
88	g	g	269,13	269,13					10	He	1
89	g	g	269,13	269,13					10	He	1
90	g	g	269,13	269,13					10	He	1
91	g	g	269,13	269,13					10	He	1
92	g	g	269,13	269,13					10	He	1
93	g	g	269,13	269,13					10	He	1
94	g	g	269,13	269,13					10	He	1
95	g	g	269,13	269,13					10	He	1
96	g	g	269,13	269,13					10	He	1
97	g	g	269,13	269,13					10	He	1
98	g	g	269,13	269,13					10	He	1
99	g	g	269,13	269,13					10	He	1
100	g	g	269,13	269,13					10	He	1
101	g	g	269,13	269,13					10	He	1
102	g	g	269,13	269,13					10	He	1
103	g	g	269,13	269,13					10	He	1
104	g	g	269,13	269,13					10	He	1
105	g	g	269,13	269,13					10	He	1
106	g	g	269,13	269,13					10	He	1
107	g	g	269,13	269,13					10	He	1
108	g	g	269,13								

PSE

57	58	59	60	61	* 62	63	64	65	66	67	68	69	70	71	72
La	Ce	Pr	Nd	Pm	Sm	Eu	Gd	Tb	Dy	Ho	Er	Tm	Yb	Lu	Lr
1138,91	140,12	140,91	144,24	146,92	150,36	151,97	157,25	158,93	162,50	164,93	167,26	168,93	173,04	174,97	*
89	* 90	* 91	* 92	* 93	* 94	* 95	* 96	* 97	* 98	* 99	* 100	* 101	* 102	* 103	*
Ac	Th	Pa	U	Np	Pu	Am	Cm	Bk	Cf	Es	Fm	Md	No	No	Lr
2227,03	232,04	231,04	238,03	237,05	244,06	243,06	247,07	247,07	251,08	252,08	257,10	258,10	259,10	260,11	*

2-01

Multiple Choice

15Pt

Kreuze für jede der folgenden Teilaufgaben jeweils alle richtigen Antworten **an**. **Hinweis:** Es können immer auch mehrere Antworten richtig sein, selbst wenn die Frage so formuliert ist, als wäre nur eine Antwort richtig.

- a) Beim radioaktiven Zerfall von Kalium-40 wird im Kern ein Proton in ein Neutron umgewandelt. Welches Isotop entsteht bei diesem Zerfall?

<input type="checkbox"/>				
${}^{40}\text{Ca}$	${}^{40}\text{Ar}$	${}^{39}\text{Ca}$	${}^{39}\text{Ar}$	${}^{41}\text{Ca}$

0
 1

- b) In welcher Anordnung sind die Elemente nach steigendem Atomradius sortiert?

<input type="checkbox"/>	<input type="checkbox"/>	<input type="checkbox"/>	<input type="checkbox"/>	<input type="checkbox"/>
$\text{N} < \text{P} < \text{Al}$	$\text{O} < \text{Se} < \text{Kr}$	$\text{B} < \text{P} < \text{F}$	$\text{Cl} < \text{S} < \text{Si}$	$\text{Si} < \text{O} < \text{K}$

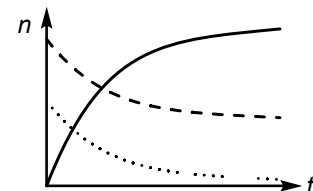
0
 1

- c) In Mangan(II,III)-oxid (Mn_3O_4) kommen sowohl Mn^{2+} - als auch Mn^{3+} -Ionen vor. In welchem Mengenverhältnis stehen diese zueinander?

<input type="checkbox"/>	<input type="checkbox"/>	<input type="checkbox"/>	<input type="checkbox"/>	<input type="checkbox"/>
$\frac{N_{\text{Mn}^{2+}}}{N_{\text{Mn}^{3+}}} = 1$	$\frac{N_{\text{Mn}^{2+}}}{N_{\text{Mn}^{3+}}} = \frac{1}{2}$	$\frac{N_{\text{Mn}^{2+}}}{N_{\text{Mn}^{3+}}} = 2$	$\frac{N_{\text{Mn}^{2+}}}{N_{\text{Mn}^{3+}}} = \frac{1}{3}$	$\frac{N_{\text{Mn}^{2+}}}{N_{\text{Mn}^{3+}}} = 3$

0
 1

- d) Die Abbildung zeigt den Verlauf der Stoffmengen der Edukte und Produkte einer chemischen Reaktion. Wie lautet die zugehörige Reaktionsgleichung?



<input type="checkbox"/>	<input type="checkbox"/>	<input type="checkbox"/>	<input type="checkbox"/>	<input type="checkbox"/>
$\text{A} + \text{B} \rightarrow \text{C}$	$\text{A} + 2 \text{B} \rightarrow \text{C}$	$\text{A} + \text{B} \rightarrow 2 \text{C}$	$\text{A} + 2 \text{B} \rightarrow 2 \text{C}$	$2 \text{A} + 2 \text{B} \rightarrow \text{C}$

0
 1

- e) Welches der Salze ist bei Raumtemperatur gut löslich in Wasser ($> 10 \text{ g/L}$)?

<input type="checkbox"/>				
Ag_2O	AgNO_3	AgCl	AgBr	AgI

0
 1

- f) Welches Element verursacht eine grüne Flammenfärbung?

<input type="checkbox"/>				
Cu	Li	K	Sr	Ba

0
 1

- g) Ein thermodynamischer Prozess mit $\Delta H = 10 \text{ kJ}$ und $\Delta S = 30 \frac{\text{J}}{\text{K}}$ der bei $T = 300 \text{ K}$ abläuft, ist...

<input type="checkbox"/>				
endotherm	exotherm	endergon	spontan	exergon

0
 1

- h) Wenn bei einem idealen Gas p größer wird, aber n und T gleich bleiben, dann...

<input type="checkbox"/>				
wird V kleiner.	wird V größer.	ändert sich R .	ändert sich U .	bleibt H gleich.

0
 1

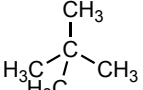
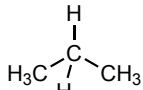
i) Wie lautet die Einheit der Geschwindigkeitskonstante bei einer Reaktion 1. Ordnung?

<input type="checkbox"/>	<input type="checkbox"/>	<input type="checkbox"/>	<input type="checkbox"/>	<input type="checkbox"/>
$\frac{\text{mol}}{\text{L} \cdot \text{s}}$	$\frac{\text{mol}}{\text{L} \cdot \text{s}^2}$	$\frac{\text{L}}{\text{mol} \cdot \text{s}}$	$\frac{1}{\text{s}}$	$\frac{\text{mol} \cdot \text{s}}{\text{L}}$

j) Wo läuft in einer galvanischen Zelle beim Entladen die Oxidation ab?

<input type="checkbox"/>				
Anode	Kathode	Separator	Pluspol	Minuspol

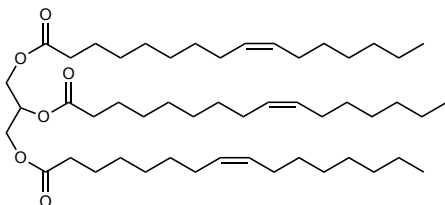
k) Welche Verbindung besitzt den höchsten Siedepunkt?

<input type="checkbox"/>	<input type="checkbox"/>	<input type="checkbox"/>	<input type="checkbox"/>	<input type="checkbox"/>
				

l) Wie lautet die Summenformel der Verbindung 1,3,5-Trimethylcyclohexan?

<input type="checkbox"/>				
C_6H_{10}	C_6H_{12}	C_9H_{16}	C_9H_{18}	C_9H_{20}

m) In welchem Produkt des Alltags kommt die nebenstehend gezeigte Verbindung am ehesten vor?

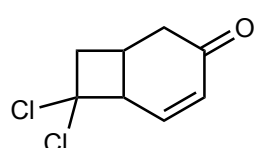


<input type="checkbox"/>				
Papier	Rapsöl	Puderzucker	Polyethylen (Plastik)	Proteinpulver

n) Wie groß ist die molare Masse des Reaktionsprodukts, wenn ein Alkohol mit $M = 46 \frac{\text{g}}{\text{mol}}$ und eine Carbonsäure mit $M = 88 \frac{\text{g}}{\text{mol}}$ miteinander verestert werden?

<input type="checkbox"/>	<input type="checkbox"/>	<input type="checkbox"/>	<input type="checkbox"/>	<input type="checkbox"/>
$134 \frac{\text{g}}{\text{mol}}$	$18 \frac{\text{g}}{\text{mol}}$	$116 \frac{\text{g}}{\text{mol}}$	$118 \frac{\text{g}}{\text{mol}}$	$180 \frac{\text{g}}{\text{mol}}$

o) Wie viele Doppelbindungsäquivalente besitzt die nebenstehend gezeigte Verbindung?



<input type="checkbox"/>				
1	2	3	4	5

2-02

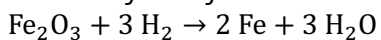
Kurzfragen

15Pt

- a) Zeichne die LEWIS-Formel von salpetriger Säure (HNO_2) und gib die die Oxidationszahl des Stickstoffatoms an.

 0
 1
 2

- b) Bei der Reduktion von Eisen(III)-oxid im Hochofen läuft unter anderem auch folgende Reaktion ab:



Berechne die Masse m_{H_2} des Wasserstoffs, der zur Herstellung von $m_{\text{Fe}} = 1 \text{ t}$ Eisen benötigt wird.

 0
 1
 2

- c) Gib an, wie sich der pH-Wert einer wässrigen Lösung durch das Lösen von Natriumsulfid (Na_2S) ändert.
Stelle eine Reaktionsgleichung auf, die die Beobachtung erklärt.

 0
 1
 2

- d) Beim OSTWALD-Verfahren wird Ammoniak bei hohen Temperaturen mit Sauerstoff verbrannt, wobei Stickstoffmonoxid und Wasser gebildet werden. Gib für diese Reaktion eine ausgeglichene Reaktionsgleichung an.

 0
 1

- e) Skizziere in das vorgegebene Diagramm den Enthalpieverlauf einer exothermen Reaktion und zeichne die Aktivierungsenthalpie H_A und die Reaktionsenthalpie ΔH_r ein.



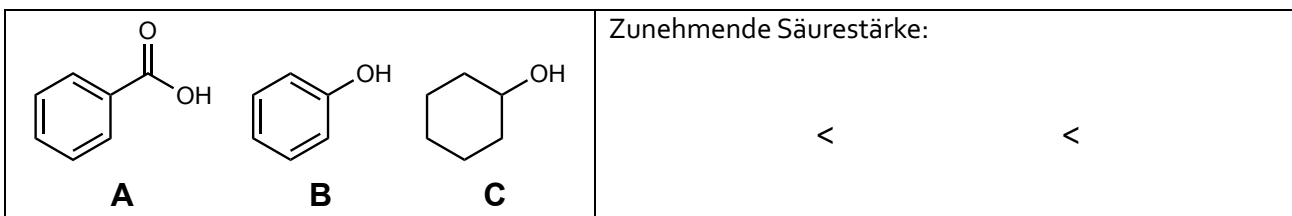
0
 1
 2

- f) Berechne den Massenanteil w_{Halogene} der Halogenatome in der Verbindung CHCl_2F .

Ein leerer Kasten für die Berechnung des Massenanteils von Halogenatomen in CHCl_2F .

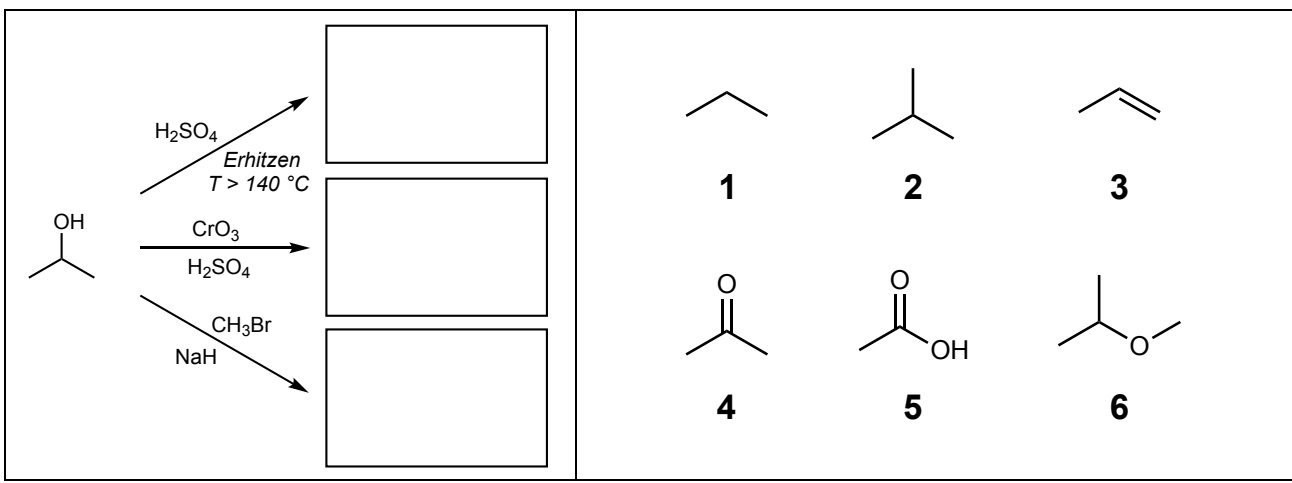
0
 1
 2

- g) Ordne die Verbindungen **A**, **B** und **C** nach zunehmender Säurestärke.



0
 1

- h) Die Abbildung zeigt typische Reaktionen von sekundären Alkoholen. Ordne den Reaktionsbedingungen jeweils das entstehende organische Hauptprodukt **1 – 6 zu**.



0
 1
 2
 3

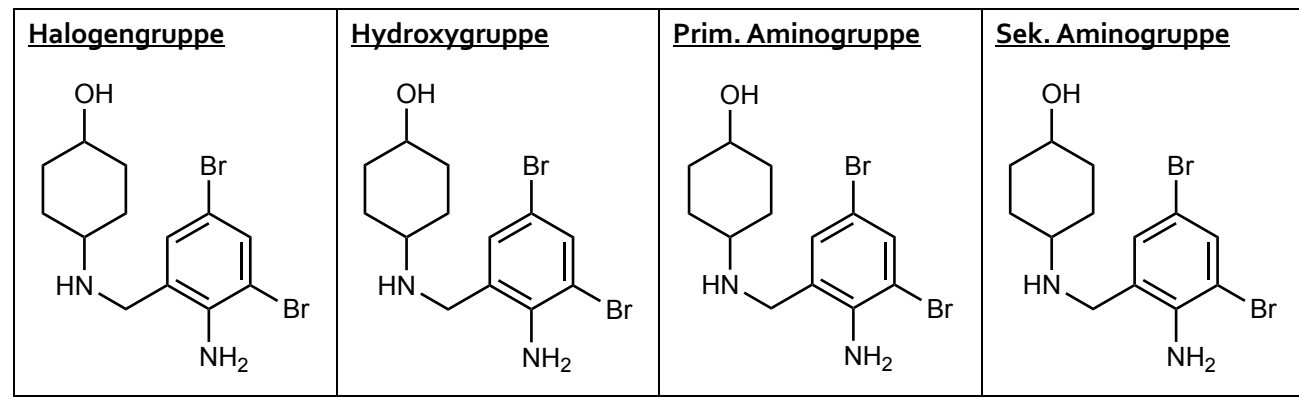
2-03

Nur ein bisschen Synthese *hust hust***15 Pt**

Die Synthese organischer Verbindungen ist eine wichtige Disziplin der organischen Chemie. Ein guter erster Schritt bei der Planung einer Synthese ist es, die funktionellen Gruppen der gewünschten Zielverbindung zu betrachten, wie im Folgenden an der Verbindung Ambroxol, einem Wirkstoff aus Hustenmedikamenten, gezeigt werden soll.

- a) Markiere für jede der folgend genannten funktionellen Gruppen ein Beispiel in der Struktur von Ambroxol.

0
 1
 2



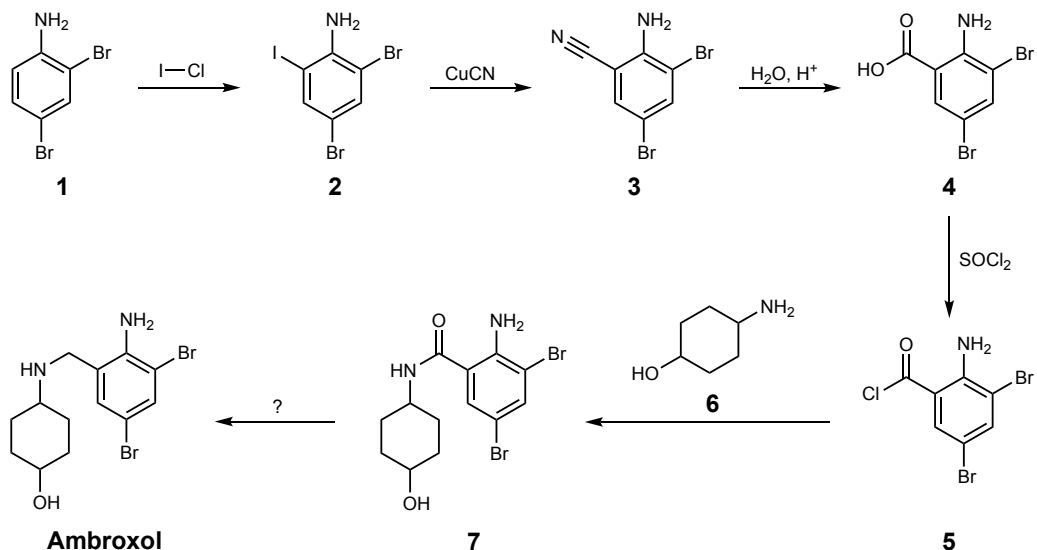
Neben den klassischen funktionellen Gruppen sind auch größere Strukturelemente wichtige Faktoren bei der Planung einer Synthese. Bei Ambroxol ist z. B. auffällig, dass es zwei 6-Ringe aus Kohlenstoffatomen gibt.

- b) Kreuze jeweils an, auf welche(n) der 6-Ringe im Ambroxol die Aussagen zutreffen.

0
 1
 2

In diesem 6-Ring sind die C-Atome planar angeordnet.	In diesem 6-Ring sind alle C-Atome sp^3 -hybridisiert.	Dieser 6-Ring ist besonders stabil, da er aromatisch ist.	In diesem 6-Ring betragen die C-C-Bindungswinkel 115° .
<input type="checkbox"/>	<input type="checkbox"/>	<input type="checkbox"/>	<input type="checkbox"/>
<input type="checkbox"/>	<input type="checkbox"/>	<input type="checkbox"/>	<input type="checkbox"/>
<input type="checkbox"/> Keiner von beiden	<input type="checkbox"/> Keiner von beiden	<input type="checkbox"/> Keiner von beiden	<input type="checkbox"/> Keiner von beiden

Folgendes Schema zeigt eine mögliche Synthese von Ambroxol ausgehend von Verbindung 1.



- c) **Ordne** den angegebenen Syntheseschritten jeweils den richtigen Reaktionstyp **zu**, indem du **ankreuzt**.
Hinweis: Jeder Reaktionstyp muss genau einmal zugeordnet werden.

	Hydrolyse eines Nitrils	Elektrophile aromatische Substitution	Nucleophile aromatische Substitution	Amidbildung
1 → 2	<input type="checkbox"/>	<input type="checkbox"/>	<input type="checkbox"/>	<input type="checkbox"/>
2 → 3	<input type="checkbox"/>	<input type="checkbox"/>	<input type="checkbox"/>	<input type="checkbox"/>
3 → 4	<input type="checkbox"/>	<input type="checkbox"/>	<input type="checkbox"/>	<input type="checkbox"/>
5 + 6 → 7	<input type="checkbox"/>	<input type="checkbox"/>	<input type="checkbox"/>	<input type="checkbox"/>

- d) **Zeichne** jeweils die stabilste LEWIS-Struktur von Chlorid (ICl) und dem Cyanid-Ion (CN^-). **Gib** für beide Verbindungen **an**, welche Partialladungen (positiv oder negativ) die Atome jeweils tragen.

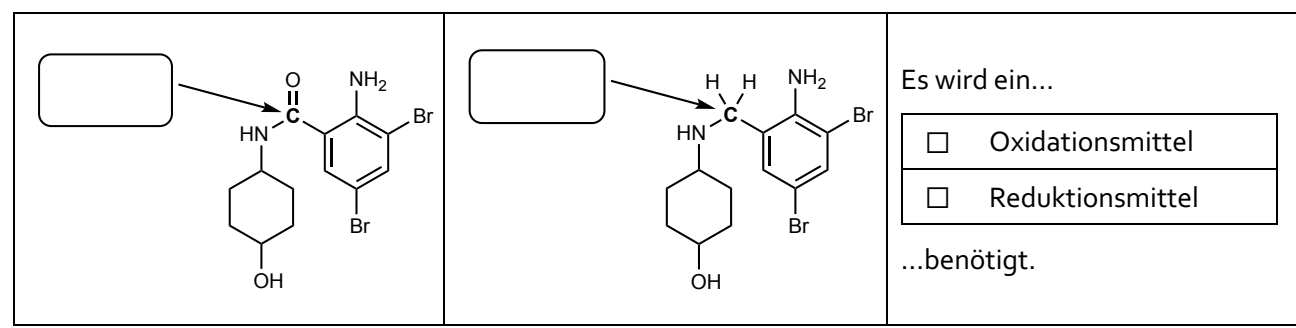
ICl	CN^-
-------	--------

- e) Warum wird Verbindung **4** im Schritt **4 → 5** zu einem Carbonsäurechlorid umgesetzt? **Kreuze** die korrekte Antwort **an**.

<input type="checkbox"/> Die Laborsicherheit wird verbessert, da freie Carbonsäuren stark ätzend wirken.
<input type="checkbox"/> Dadurch wird im Schritt 5 + 6 → 7 anstelle von Wasser Salzsäure als Nebenprodukt freigesetzt, welche die Reaktion zu 7 katalysiert und die Produktbildung begünstigt.
<input type="checkbox"/> Aromatische Carbonsäuren zersetzen sich schnell unter Abgabe von CO_2 , was durch die Substitution eines Sauerstoffatoms durch Chlor verhindert wird.
<input type="checkbox"/> Carbonsäurechloride sind deutlich reaktiver für Substitutionen an der Acylgruppe im Vergleich zu Carbonsäuren.

Beim letzten Schritt der Synthese, **7 → Ambroxol**, handelt es sich um eine Redoxreaktion.

- f) **Bestimme** die Oxidationszahlen des **fett markierten Kohlenstoffatoms** in **7** und Ambroxol und **kreuze an**, ob für den Schritt ein Oxidations- oder ein Reduktionsmittel benötigt wird.



0

 1

 2

 3

 4

0

 1

 2

 3

0

 1

0

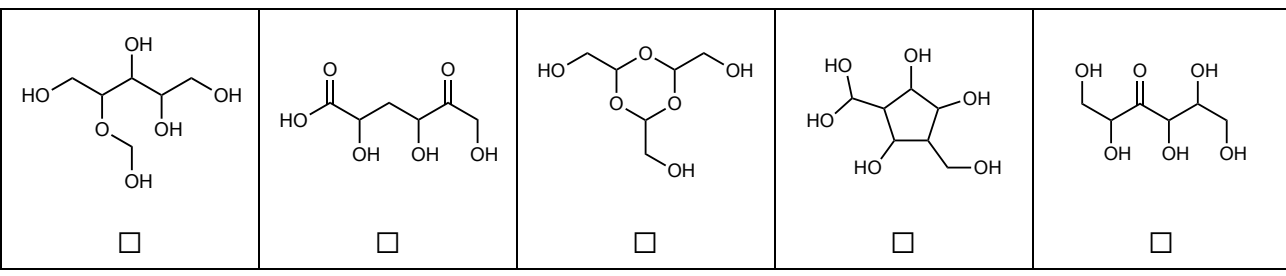
 1

 2

 3

Die Summenformel C₆H₁₂O₆ spielt in der organischen Chemie eine besondere Rolle, da es mehrere tausend Konstitutionsisomere gibt, von denen manche eine herausragende Bedeutung haben.

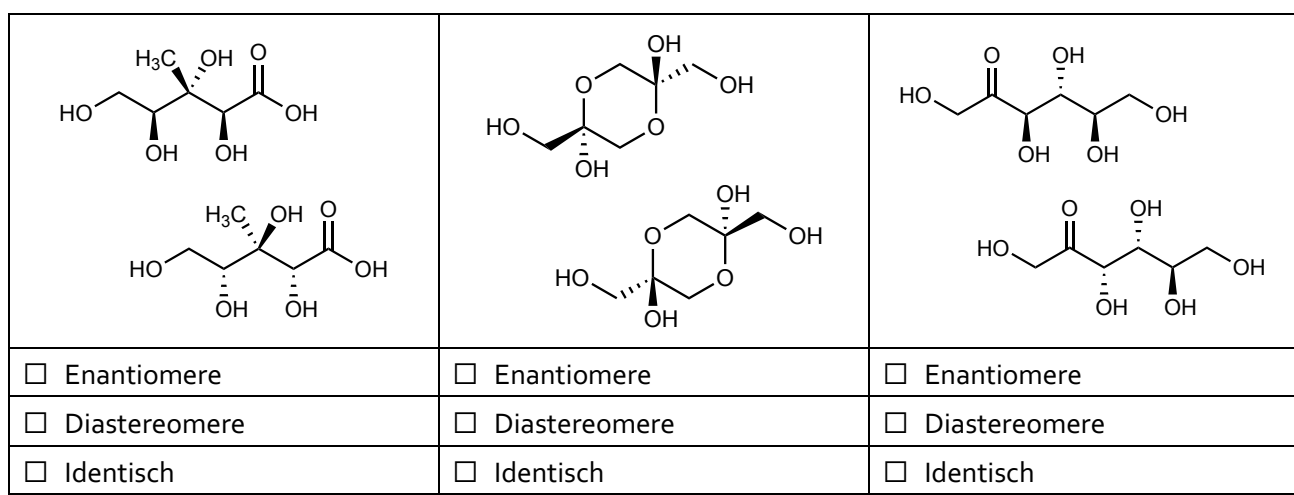
a) Kreuze alle Strukturen an, bei denen es sich um Konstitutionsisomere von C₆H₁₂O₆ handelt.



- 0
- 1
- 2
- 3
- 4

Berücksichtigt man zusätzlich noch Stereoisomere, gibt es noch weitaus mehr Isomere mit der Summenformel C₆H₁₂O₆.

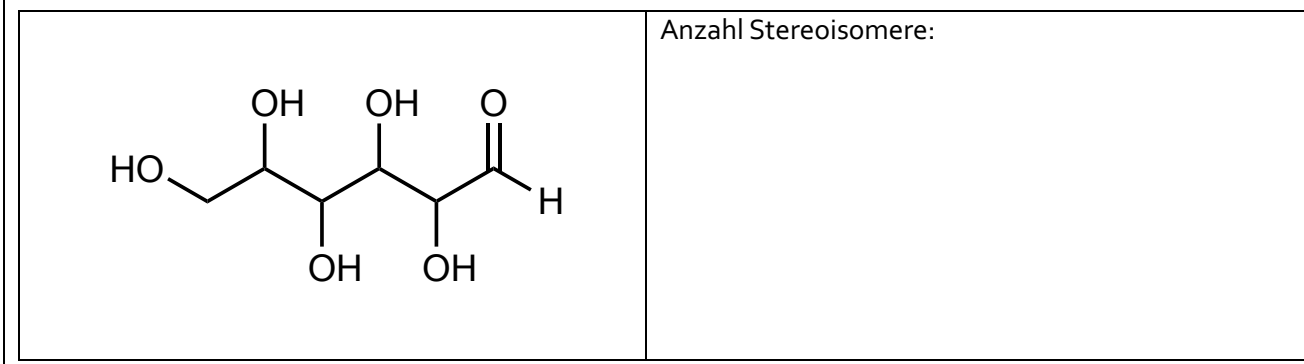
b) Kreuze für jedes der folgenden Paare von Isomeren an, in welchem stereochemischen Verhältnis diese zueinander stehen bzw. ob sie identisch sind.



- 0
- 1
- 2
- 3
- 4
- 5

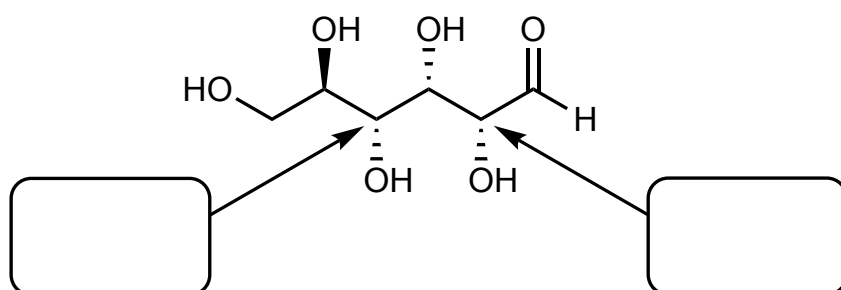
Die wohl bedeutendsten Vertreter der Summenformel C₆H₁₂O₆ sind die Aldohexosen, also eine Gruppe von Kohlenhydraten, zu denen unter anderem die D-Glucose gehört.

c) Markiere in der gegebenen Strukturformel einer Aldohexose alle asymmetrisch substituierten Kohlenstoffatome mit einem Sternchen *. Gib an, wie viele Stereoisomere die Struktur besitzt.



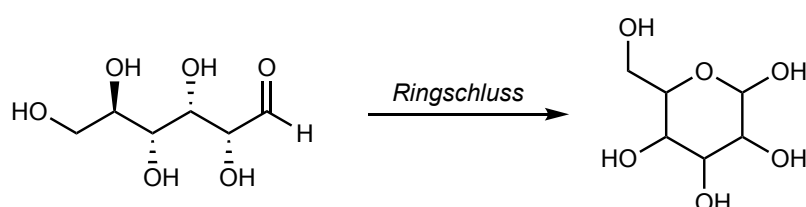
- 0
- 1
- 2
- 3
- 4
- 5
- 6

d) **Bestimme** die absolute Konfiguration der beiden markierten Stereozentren in D-Glucose gemäß der R/S-Nomenklatur.



- 0
- 1
- 2
-
-

D-Glucose kann eine intramolekulare Ringschlussreaktion eingehen, wobei D-Glucopyranose gebildet wird.



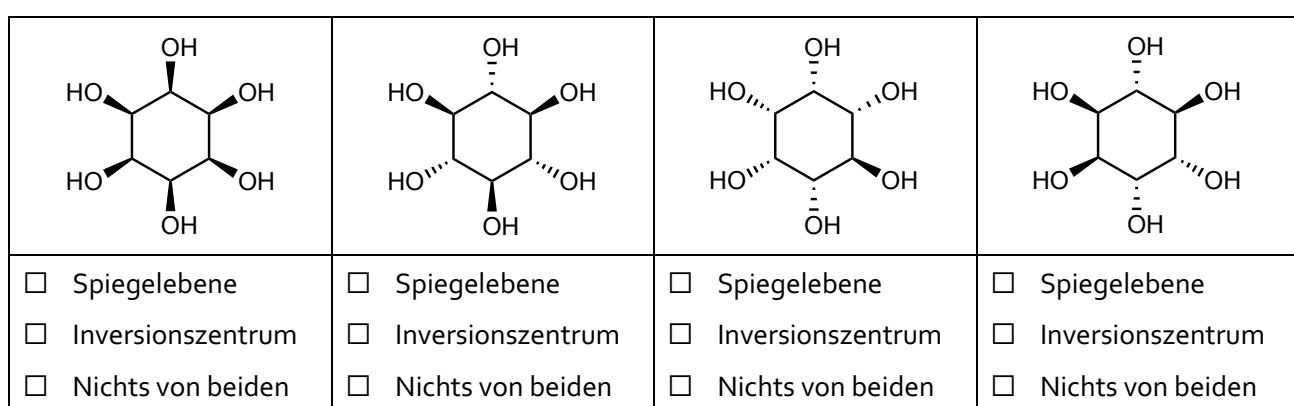
e) **Kreuze an**, wie viele und welcher Typ Stereoisomere von D-Glucopyranose bei der gezeigten Ringschlussreaktion gebildet werden.

- | | |
|--|---|
| <input type="checkbox"/> Ein einzelnes Stereoisomer | <input type="checkbox"/> Zwei Enantiomere |
| <input type="checkbox"/> Zwei Diastereomere | <input type="checkbox"/> Vier Diastereomere |
| <input type="checkbox"/> Vier Stereoisomere: zwei Paare von Enantiomeren | |

- 0
- 1
-
-
-

Weitere Vertreter der Summenformel $C_6H_{12}O_6$ sind die Inosite, bei denen es sich um cyclische Hexole handelt, also Cyclohexan-Derivate mit sechs Hydroxygruppen. Durch ihre hohe Symmetrie weisen die Inosite eine interessante Stereochemie auf: Trotz der sechs Stereozentren gibt es lediglich neun verschiedene Stereoisomere.

f) **Kreuze** für jedes der folgenden Inosite jeweils an, ob es eine (oder mehrere) Spiegelebenen, ein Inversionszentrum oder nichts von beiden gibt.



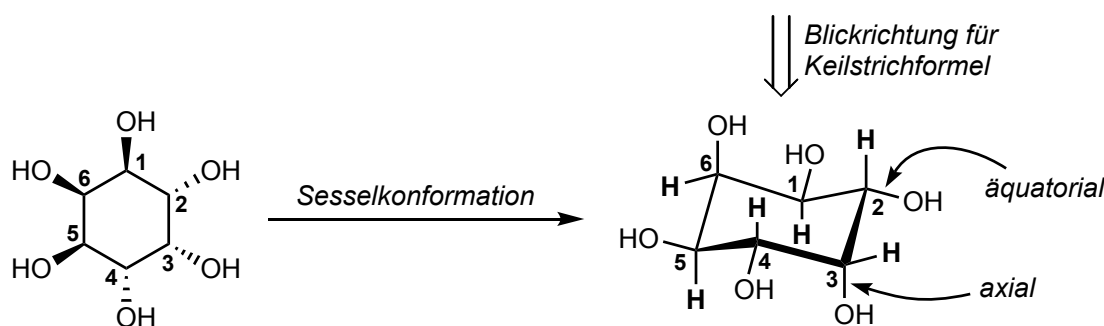
- 0
- 1
- 2
-
-

Von den neun Stereoisomeren von Inosit sind zudem lediglich zwei optisch aktiv.

- g) Zeichne die Keilstrichformeln der beiden optisch aktiven Inosite und gib an, in welchem stereochemischen Verhältnis diese zueinander stehen.

<input type="checkbox"/>	0
<input type="checkbox"/>	1
<input type="checkbox"/>	2
<input type="checkbox"/>	3
<input type="checkbox"/>	4
<input type="checkbox"/>	5

Wie alle Cyclohexan-Derivate nehmen die Inosite eine zick-zack-förmige Konformation ein, die aufgrund ihrer Form als Sesselkonformation bezeichnet wird. Die Substituenten können dabei entweder in der Ringebene liegen (äquatoriale Stellung) oder senkrecht darauf stehen (axiale Stellung), wie in der Abbildung verdeutlicht ist. Die Sesselkonformation ist am günstigsten, wenn sich möglichst viele Hydroxygruppen in einer äquatorialen Stellung befinden.



- h) Zeichne für die folgenden beiden Inosite jeweils die Keilstrichformel bzw. vervollständige die gegebene Sesselkonformation, indem du die fehlenden Substituenten einzeichnest.

<input type="checkbox"/>	0
<input type="checkbox"/>	1
<input type="checkbox"/>	2
<input type="checkbox"/>	3
<input type="checkbox"/>	4

Keilstrichformel	Sesselkonformation

Mittels NMR-Spektroskopie ist es möglich, die einzelnen Stereoisomere von Inosit analytisch zu unterscheiden. Im ^1H -NMR-Spektrum können dabei Signale für die sechs fett gedruckten Wasserstoffatome in der Abbildung auf der vorherigen Seite beobachtet werden. Direkt benachbarte Wasserstoffatome sind im Spektrum miteinander verkoppelt, wobei man abhängig davon, ob sich die Wasserstoffatome in einer axialen oder äquatorialen Stellung befinden, zwischen axial-axial-, äquatorial-äquatorial- und axial-äquatorial-Kopplungen unterscheiden kann.

Für zwei verschiedene Isomere **A** und **B** von Inosit wurden auf diese Weise die in der Tabelle gegebenen Kopplungsmuster bestimmt. Die Zahlen stehen dabei dafür, wie oft die jeweilige Art von Kopplung in einem Molekül vorkommt.

Kopplung	Isomer A	Isomer B
axial-axial	2	1
äquatorial-äquatorial	2	1
axial-äquatorial	2	4

i) Zeichne die Keilstrichformeln der Isomere **A** und **B** von Inosit.

Isomer A

Isomer B

- 0
- 1
- 2
- 3

Platz für Notizen (nicht bewertet):



2-05

(K)eine ganz schön harte Aufgabe

15 Pt

Die Wasserhärte ist bei einigen Anwendungen ein wichtiges Qualitätskriterium für Wasser. Im chemischen Sinne versteht man unter der Wasserhärte den Gesamtgehalt an Erdalkalimetallionen im Wasser.

a) Vervollständige den Lückentext, indem du jeweils alle richtigen Begriffe ankreuzt.

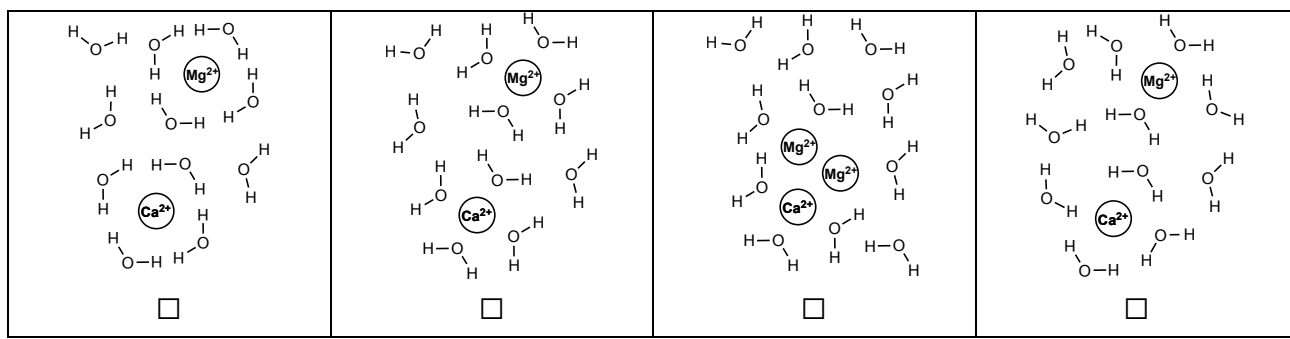
Die Erdalkalimetalle bilden im Periodensystem die (1), da sie in ihrer Valenzschale nur zwei Elektronen in einem (2) besitzen. Sie sind in ihrer elementaren Form starke (3). Im Vergleich zu den Alkalimetallen derselben Periode besitzen die Erdalkalimetalle eine(n) höhere(n) (4).

Lücke (1)	Lücke (2)	Lücke (3)	Lücke (4)
<input type="checkbox"/> Gruppe 2	<input type="checkbox"/> s-Orbital	<input type="checkbox"/> Oxidationsmittel	<input type="checkbox"/> Elektronegativität
<input type="checkbox"/> 2. Hauptgruppe	<input type="checkbox"/> p-Orbital	<input type="checkbox"/> Reduktionsmittel	<input type="checkbox"/> Atomradius
<input type="checkbox"/> 2. Untergruppe	<input type="checkbox"/> d-Orbital		<input type="checkbox"/> Ionisierungsenergie
<input type="checkbox"/> 2. Nebengruppe	<input type="checkbox"/> f-Orbital		<input type="checkbox"/> Ionenradius

- 0
-
- 1
-
- 2
-
- 3

Praktisch kommen in Wasser jedoch fast nur gelöste Magnesium- und Calciumionen natürlich vor.

b) Kreuze an, welche Skizze die Anordnung von Mg^{2+} - und Ca^{2+} -Ionen in wässriger Lösung schematisch korrekt wiedergibt.



- 0
-
- 1

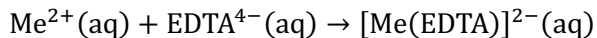
Die Wasserhärte wird beeinflusst durch ein Netzwerk von Gleichgewichtsreaktionen, das vor allem aus Fällungs- und Säure-Base-Reaktionen besteht. So können z. B. Ca^{2+} -Ionen mit gelösten Sulfationen zu schwerlöslichem Gips ($CaSO_4$) reagieren (Reaktion 1). Gelöste Kohlensäure (H_2CO_3) reagiert unter Abgabe eines Protons an Wasser zu Hydrogencarbonationen (HCO_3^- , Reaktion 2), welche mit Ca^{2+} -Ionen zu unlöslichem Kalk ($CaCO_3$) reagieren können, wobei Kohlensäure als Nebenprodukt entsteht (Reaktion 3).

c) Gib ausgeglichene Ionengleichungen mit Aggregatzuständen für die Reaktionen 1 – 3 an und kreuze jeweils an, ob es sich um eine Fällungsreaktion oder eine Säure-Base-Reaktion handelt.

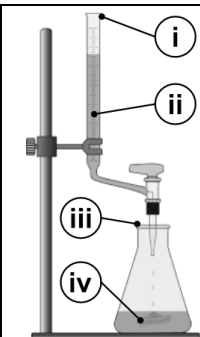
①	<input type="checkbox"/> Fällungsreaktion <input type="checkbox"/> Säure-Base-Reaktion
②	<input type="checkbox"/> Fällungsreaktion <input type="checkbox"/> Säure-Base-Reaktion
③	<input type="checkbox"/> Fällungsreaktion <input type="checkbox"/> Säure-Base-Reaktion

- 0
-
- 1
-
- 2
-
- 3
-
- 4
-
- 5

Experimentell kann die Wasserhärte einer Wasserprobe mit einer komplexometrischen Titration mit dem Reagenz EDTA bestimmt werden, wobei Eriochrome Black T als Indikator fungiert. Zwischen dem Anion EDTA^{4-} und Mg^{2+} sowie Ca^{2+} , welche folgend zusammen als Me^{2+} bezeichnet werden, läuft dabei folgende Reaktion ab:



- d) Die Abbildung zeigt den Aufbau der Titration vor Beginn. **Ordne** allen Begriffen den korrekten Marker **i – iv zu**. Ordne EDTA und Eriochrome Black T dabei der Lösung zu, in der sie anfangs gelöst sein sollten.



Begriffe: Erlenmeyerkolben, Maßlösung, Bürette, Probelösung, EDTA, Eriochrome Black T

(i)

(ii)

(iii)

(iv)

- 0
- 1
- 2
- 3

Eine Leitungswasserprobe mit dem Volumen $V_0 = 100 \text{ mL}$ wird auf diese Weise mit EDTA-Lösung der Konzentration $c_{\text{EDTA}} = 10,0 \frac{\text{mmol}}{\text{L}}$ titriert, wobei $V_{\text{EDTA}} = 19,2 \text{ mL}$ bis zum Äquivalenzpunkt verbraucht werden.

- e) **Berechne** die Konzentration $c_{\text{Me}^{2+}}$ der Mg^{2+} - und Ca^{2+} -Ionen in der Leitungswasserprobe.

► Weiter mit: $c_{\text{Me}^{2+}} = 2,00 \frac{\text{mmol}}{\text{L}}$

- 0
- 1
- 2
- 3

Die Wasserhärte wird oft in Grad Deutscher Härte (${}^{\circ}\text{dH}$) angegeben, wobei $1 {}^{\circ}\text{dH}$ bedeutet, dass die Stoffmenge an Mg^{2+} - und Ca^{2+} -Ionen pro Liter Wasser der Stoffmenge von Ca^{2+} -Ionen in $10,0 \text{ mg Calciumoxid (CaO)}$ entspricht.

- f) **Berechne** die Wasserhärte der Leitungswasserprobe in ${}^{\circ}\text{dH}$.

- 0
- 1
- 2
- 3

2-06

Eine Welt voll Wasserstoff, Teil I: Mit Steinen Gase speichern

20 Pt

Wasserstoff wird eine zentrale Rolle bei der Umstellung des Energiesektors und der chemischen Industrie auf eine nachhaltige Energieversorgung zugeschrieben. Eine besondere Herausforderung ist dabei jedoch die Speicherung des gasförmigen, leicht flüchtigen Wasserstoffs. Einen möglichen Lösungsansatz stellt die Speicherung in Form von Hydridsalzen wie Magnesiumhydrid (MgH_2) oder Natriumborhydrid ($NaBH_4$) dar.

- a) Zeichne jeweils die LEWIS-Formel der Anionen in MgH_2 und $NaBH_4$.



- 0
 1

Der Wasserstoff kann unterschiedlich aus den betrachteten Verbindungen zurückgewonnen werden. Während MgH_2 seinen Wasserstoff durch eine geeignete Temperaturbehandlung abgibt, wird der Wasserstoff in $NaBH_4$ durch eine Hydrolysereaktion freigesetzt, bei der festes Natriummetaborat ($NaBO_2$) als Nebenprodukt entsteht.

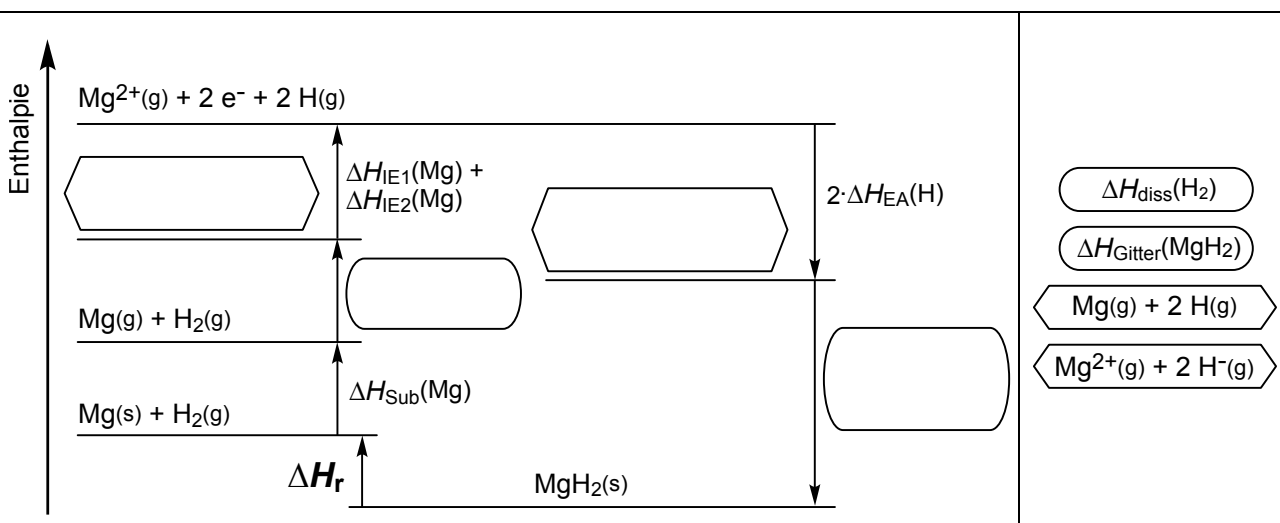
- b) Gib für MgH_2 und $NaBH_4$ ausgeglichene Reaktionsgleichungen mit Aggregatzuständen für die Freisetzung von Wasserstoff an.



- 0
 1
 2

Ähnlich wie für die Bildung von MgH_2 kann auch für die Freisetzung von Wasserstoff aus MgH_2 ein BORN-HABER-Kreisprozess aufgestellt werden. Die Reaktionsenthalpie der Zersetzungsreaktion wird dabei mit ΔH_r bezeichnet.

- c) Vervollständige das Schema zum BORN-HABER-Kreisprozess für die Freisetzung von Wasserstoff aus MgH_2 , indem du die Schnipsel aus der rechten Spalte in die passenden Lücken einträgst.



- 0
 1
 2

In der folgenden Tabelle sind die Werte der Größen aus dem betrachteten HABER-BORN-Kreisprozess gegeben.

$\Delta H_{\text{diss}}(\text{H}_2) = 436 \frac{\text{kJ}}{\text{mol}}$	$\Delta H_{\text{EA}}(\text{H}) = -73 \frac{\text{kJ}}{\text{mol}}$	$\Delta H_{\text{Gitter}}(\text{MgH}_2) = -2721 \frac{\text{kJ}}{\text{mol}}$
$\Delta H_{\text{IE1}}(\text{Mg}) = 738 \frac{\text{kJ}}{\text{mol}}$	$\Delta H_{\text{IE2}}(\text{Mg}) = 1451 \frac{\text{kJ}}{\text{mol}}$	$\Delta H_{\text{Sub}}(\text{Mg}) = 137 \frac{\text{kJ}}{\text{mol}}$

d) Vervollständige entsprechend den Anweisungen i. und ii.

i. **Berechne** die Reaktionsenthalpie ΔH_r der Zersetzung von MgH_2 .

- 0
- 1
- 2

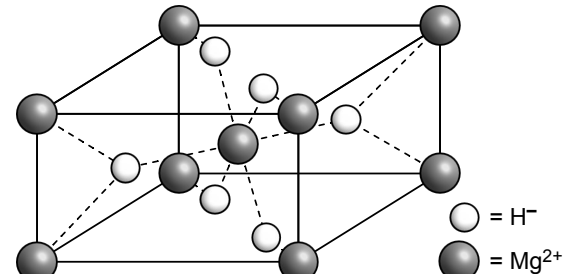
► Weiter mit: $\Delta H_r = +100 \frac{\text{kJ}}{\text{mol}}$

ii. **Kreuze** alle Antworten an, die den folgenden Satz korrekt vervollständigen:
Die Freisetzung von Wasserstoff aus MgH_2 ...

- | | |
|---|--|
| <input type="checkbox"/> ... verläuft exotherm. | <input type="checkbox"/> ... verläuft endotherm. |
| <input type="checkbox"/> ... ist bei hohen Temperaturen begünstigt. | <input type="checkbox"/> ... ist bei tiefen Temperaturen begünstigt. |

- 0
- 1

In seiner stabilsten α -Form kristallisiert MgH_2 in einem tetragonalen Kristallsystem. Dabei besetzen die Magnesiumionen die Ecken und die Raummitte eines Quaders und die Hydridionen ordnen sich dazwischen an, wie die nebenstehende Abbildung schematisch zeigt.

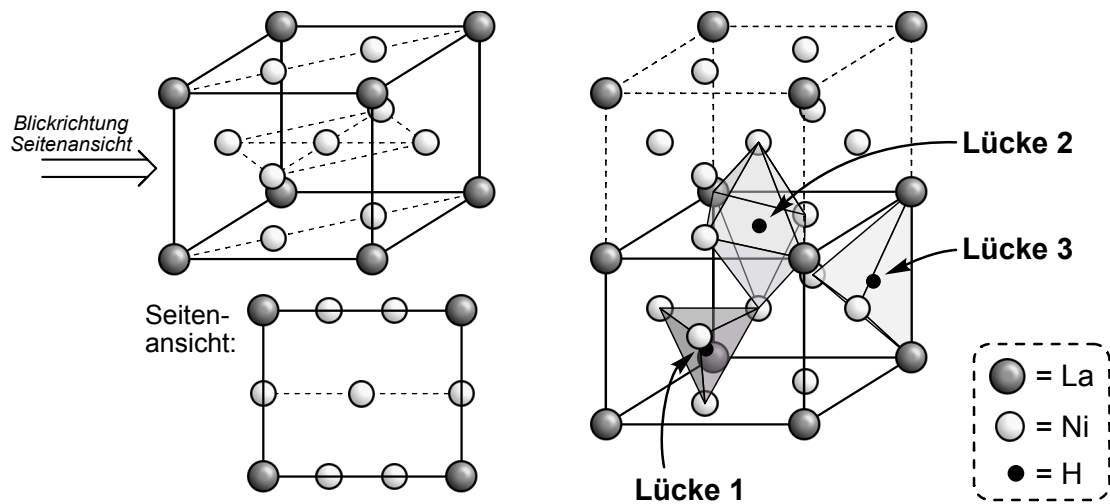


e) **Kreuze** alle korrekten Aussagen über die Festkörperstruktur von MgH_2 an.

- | | |
|---|--|
| <input type="checkbox"/> Die Mg^{2+} -Ionen bilden eine tetragonale primitive Packung. | <input type="checkbox"/> Die Mg^{2+} -Ionen bilden eine tetragonale flächenzentrierte Packung. |
| <input type="checkbox"/> Die Mg^{2+} -Ionen bilden eine tetragonale innenzentrierte Packung. | <input type="checkbox"/> Die H^- -Ionen besetzen die Tetraederlücken des Gitters der Mg^{2+} -Ionen. |
| <input type="checkbox"/> Die Koordinationszahl der Mg^{2+} -Ionen ist 6. | <input type="checkbox"/> Die Koordinationszahl der H^- -Ionen ist 2. |
| <input type="checkbox"/> Die Koordinationszahl der H^- -Ionen ist 3. | <input type="checkbox"/> Die Koordinationszahl der H^- -Ionen ist 6. |
| <input type="checkbox"/> Die H^- -Ionen besetzen die Oktaederlücken des Gitters der Mg^{2+} -Ionen. | <input type="checkbox"/> Die Mg^{2+} -Ionen sind oktaederförmig von H^- -Ionen umgeben. |

- 0
- 1
- 2

Neben Hydridsalzen ist auch die Speicherung von Wasserstoff in Metallhydriden, in denen Wasserstoff atomar in das Metallgitter eingebaut wird, möglich. Ein Beispiel dafür ist die Verbindung LaNi_x , die pro Formeleinheit bis zu sechs Wasserstoffatome unter Bildung von LaNi_xH_6 aufnehmen kann. Nachfolgend sind die Elementarzelle von LaNi_x (links) sowie die drei möglichen Arten von Lücken, in die die Wasserstoffatome eingelagert werden können, abgebildet.



- f) Gib die Anzahl der Lanthan- und Nickelatome in einer Elementarzelle an und bestimme daraus den Wert von x in LaNi_x . Beachte dabei, dass Atome auf Ecken, Kanten und Außenflächen der Elementarzelle nur anteilig zählen.

 0
 1
 2
 3

» Weiter mit: $x = 4$

- g) Gib für jede der Lücken **1**, **2** und **3** die Koordinationszahl der Wasserstoffatome an. Gib zudem an, wie oft die jeweilige Art von Lücke in der Elementarzelle vorkommt. Beachte dabei, dass Lücken auf Ecken, Kanten und Außenflächen der Elementarzelle nur anteilig zählen.

 0
 1
 2
 3

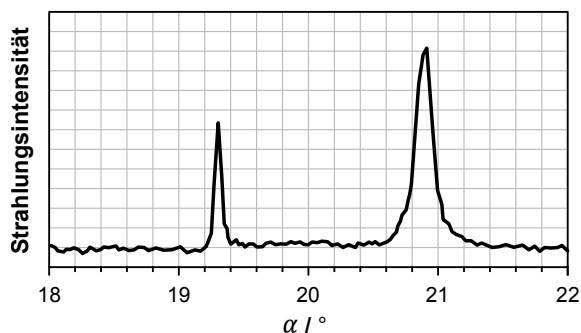
Lücke 1	Lücke 2	Lücke 3			
Koordinationszahl:	Anzahl:	Koordinationszahl:	Anzahl:	Koordinationszahl:	Anzahl:

Bei der Einlagerung von Wasserstoffatomen in das Metallgitter von LaNi_x vergrößert sich der Abstand zwischen den Metallatomen ein wenig, was mithilfe von Röntgenbeugung nachvollzogen werden kann. Ein LaNi_x -Kristall wird dazu nach der Einlagerung von Wasserstoff mit Röntgenstrahlung der Wellenlänge $\lambda = 179 \text{ pm}$ untersucht; ein Ausschnitt aus dem Beugungsmuster ist in der Abbildung auf der nächsten Seite gezeigt. Für die gezeigten Peaks gilt die BRAGG-Gleichung in der folgenden Form, wobei d der Abstand der Gitterebenen in LaNi_x ist, welcher sich durch die Einlagerung von Wasserstoff auf d^* vergrößert.

$$2 \cdot \lambda = 2 \cdot d \cdot \sin(\alpha)$$

h) Vervollständige entsprechend den Anweisungen i. – iv.

i. **Berechne** aus dem Beugungsmuster das Verhältnis von d^* und d .



» Weiter mit: $\frac{d^*}{d} = 1,09$

ii. **Berechne** das Verhältnis der Volumina V^* und V der Elementarzelle von LaNi_x nach und vor der Einlagerung von Wasserstoff. Nimm dabei an, dass sich die Elementarzelle von LaNi_x in allen drei Raumrichtungen um den Faktor aus Aufgabenteil i. ausdehnt.

» Weiter mit: $\frac{V^*}{V} = 1,30$

iii. **Berechne** das Verhältnis der Massen m^* und m der Elementarzelle von LaNi_x nach und vor der Einlagerung von Wasserstoff.

» Weiter mit: $\Delta m^* = \frac{m^*}{m} = 1,03$

iv. **Berechne** die prozentuale Änderung der Dichte von LaNi_x durch die Einlagerung von Wasserstoff.

0
 1
 2

0
 1

0
 1

0
 1

2-07

Eine Welt voll Wasserstoff, Teil II: Jetzt wird's spannend!**15 Pt**

Wasserstoff soll in Zukunft primär durch die elektrolytische Spaltung von Wasser mit nachhaltig erzeugtem Strom gewonnen werden.

- a) **Stelle** die Oxidations-, die Reduktions- sowie die Gesamtreaktionsgleichung der elektrolytischen Spaltung von Wasser im sauren Milieu auf.

Oxidation:

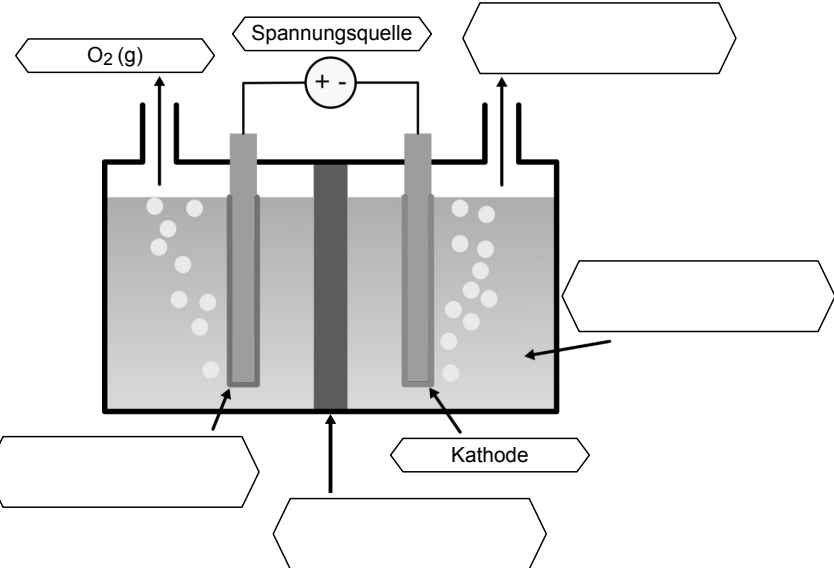
Reduktion:

Gesamt:

 0
 1
 2

Die folgende Abbildung zeigt schematisch den Aufbau eines Elektrolyseurs.

- b) **Trage** die Begriffe aus der rechten Spalte in die richtigen Beschriftungsfelder **ein**.



- Anode
Elektrolyt
 $H_2(g)$
Separator

 0
 1
 2

- c) **Berechne** die benötigte Ladungsmenge Q , um i) 1 Molekül bzw. ii) 1 Mol Wasserstoff zu erzeugen.

i) 1 Molekül Wasserstoff:

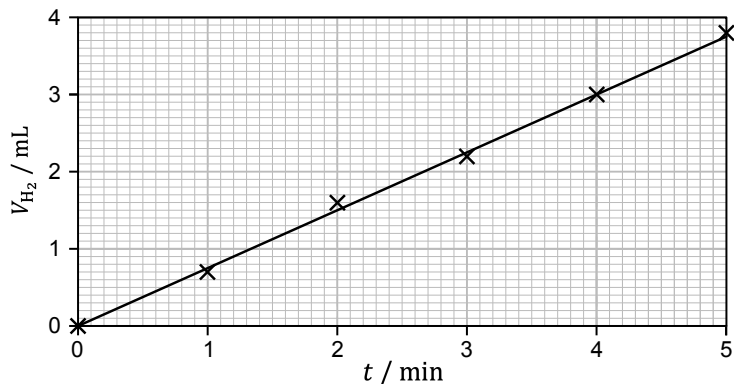
ii) 1 Mol Wasserstoff:

 0
 1
 2

Nun soll die Elektrolyse von Wasser im Labormaßstab untersucht werden. Dazu wird ein kleiner Elektrolyseapparat aufgebaut und unter Laborbedingungen ($T = 298 \text{ K}$, $p = 1 \text{ bar}$) bei verschiedenen Stromstärken betrieben. Das Volumen des erzeugten Wasserstoffgases wird jede Minute gemessen, um die Bildungsrate $\Delta V_{\text{H}_2} / \Delta t$ von Wasserstoff zu bestimmen.

d) Vervollständige den Rechenweg entsprechend den Anweisungen i. und ii.

- i. Das Diagramm zeigt die Ergebnisse der Messung bei $I = 0,1 \text{ A}$, eine Ausgleichsgerade wurde bereits eingezeichnet. Gib die Gleichung der Ausgleichsgeraden an.



» Weiter mit: $V_{\text{H}_2} = 0,70 \frac{\text{mL}}{\text{min}} \cdot t$

- ii. Berechne, für wie viele Stunden die Elektrolyse betrieben werden muss, um $V_{\text{H}_2} = 1,0 \text{ L}$ zu erzeugen.

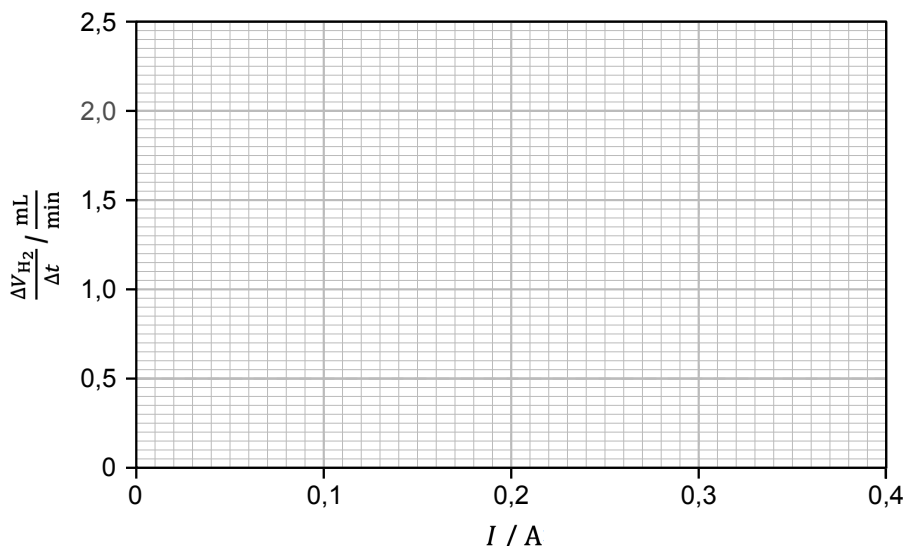
 0
 1

 0
 1

Die Messung wird nun für verschiedene Stromstärken wiederholt, was zu folgenden Ergebnissen führt:

e) Vervollständige den Rechenweg entsprechend den Anweisungen i. – iv.

- i. Zeichne die gemessenen Wertepaare aus der Tabelle in das gegebene $\frac{\Delta V_{\text{H}_2}}{\Delta t}$ - I-Diagramm ein.



I / A	$\frac{\Delta V_{\text{H}_2}}{\Delta t} / \frac{\text{mL}}{\text{min}}$
0	0
0,10	0,70
0,15	1,18
0,20	1,58
0,25	1,90
0,30	2,35

 0
 1
 2

ii. Zeichne eine Ausgleichsgerade in das Diagramm ein und bestimme deren Steigung m .

 0
 1
 2
 3

iii. Zwischen der Bildungsrate $\frac{\Delta V_{H_2}}{\Delta t}$ von Wasserstoff und der Stromstärke I gilt folgender Zusammenhang:

$$\frac{\Delta V_{H_2}}{\Delta t} = \frac{I}{2 \cdot F} \cdot \frac{R \cdot T}{p}$$

Kreuze an, welche Gesetzmäßigkeiten benötigt werden, um diesen Ausdruck herzuleiten.

<input type="checkbox"/>	<input type="checkbox"/>	<input type="checkbox"/>	<input type="checkbox"/>	<input type="checkbox"/>	<input type="checkbox"/>
Ideales Gasgesetz	Zeitgesetz o. Ordnung	NERNST-Gleichung	Geschwindigkeitsgesetz 1. Ordnung	FARADAY'sches Gesetz	GIBBS-HELMHOLTZ-Gleichung

iv. Berechne die Steigung m_{theo} , die die Ausgleichsgeraden aus Teilaufgabe ii. theoretisch besitzen sollte.

Gib dein Ergebnis in der Einheit $\frac{\text{mL}}{\text{A} \cdot \text{min}}$ an.

 0
 1
 2

Die für die Elektrolyse benötigte Spannung ist die Zersetzungsspannung von Wasser ΔE_Z , welche direkt mit den thermodynamischen Daten der Zersetzungsreaktion von Wasser zusammenhängt. Einige Werte für diese Reaktion (gültig bei 25 °C) sind im Folgenden gegeben:

$$\Delta H_r = -286 \frac{\text{kJ}}{\text{mol}}; \quad \Delta S_r = -164 \frac{\text{J}}{\text{mol} \cdot \text{K}}; \quad \Delta G_r = -237 \frac{\text{kJ}}{\text{mol}}$$

f) Berechne den Betrag der Zersetzungsspannung ΔE_Z von Wasser bei 25 °C.

 0
 1
 2
 3

2-08

Eine Welt voll Wasserstoff, Teil III: Nur nicht unter Druck geraten!

20 Pt

Auch wenn die zuvor betrachtete Speicherung von Wasserstoff als Komponente einer festen Verbindung eine vielversprechende Technologie darstellt, wird Wasserstoff für die meisten Anwendungen einfach als Reinstoff in einem Tank gelagert. Für die *Innovative Concepts for Hydrogen Operations Inc.* (kurz *ICHO Inc.*) sollst du die Lagerung von gasförmigem bzw. flüssigem Wasserstoff in Tanks rechnerisch untersuchen.

Zunächst widmest du dich der technisch einfachsten Möglichkeit, gasförmigen Wasserstoff bei Atmosphärendruck ($p = 1013,25 \text{ hPa}$) und Umgebungstemperatur ($\vartheta = 22^\circ\text{C}$) in einem Gastank mit dem Volumen $V_{\text{Tank}} = 20 \text{ m}^3$ zu speichern. Du beschließt, Wasserstoff zunächst als ideales Gas zu betrachten.

a) Welche Annahmen werden beim idealen Gasgesetz getroffen? **Kreuze alle richtigen Antworten an.**

- | | |
|--------------------------|--|
| <input type="checkbox"/> | Gasteilchen besitzen kein Eigenvolumen. |
| <input type="checkbox"/> | Gasteilchen werden als masselose Punkte betrachtet. |
| <input type="checkbox"/> | Zwischen Gasteilchen können elastische Stöße ablaufen. |
| <input type="checkbox"/> | Gasteilchen üben keine abstoßenden Kräfte aufeinander aus und kollidieren nicht miteinander. |
| <input type="checkbox"/> | Gasteilchen üben keine anziehenden Kräfte aufeinander aus. |

0
 1
 2

b) **Berechne** die Masse m_{H_2} von Wasserstoff, die unter diesen Bedingungen im Tank gespeichert ist.

--

0
 1
 2

Die *ICHO Inc.* ist mit diesem Wert nicht zufrieden und möchte die Speicherdichte von Wasserstoff im Tank auf mindestens $\rho_{\text{H}_2} = 50 \frac{\text{g}}{\text{L}}$ anheben.

c) **Berechne** den nötigen Druck p , um die vorgegebene Speicherdichte bei $\vartheta = 22^\circ\text{C}$ zu erreichen.

--

0
 1
 2

Völlig korrekt merkst du an, dass das ideale Gasgesetz bei hohen Drücken sehr ungenaue Ergebnisse liefert und stattdessen auf kubische Gasgesetze wie die VAN-DER-WAALS-Gleichung zurückgegriffen werden sollte:

$$\left(p + \frac{a}{V_m^2} \right) \cdot (V_m - b) = R \cdot T$$

Für Wasserstoff findest du in einem Tabellenwerk folgende Werte: $a = 2,47 \cdot 10^{-1} \frac{\text{bar} \cdot \text{L}^2}{\text{mol}^2}$ und $b = 2,66 \cdot 10^{-2} \frac{\text{L}}{\text{mol}}$. Mit den gegebenen Daten berechnest du erneut den nötigen Druck p , um die vorgegebene Speicherdichte von $\rho_{H_2} = 50 \frac{\text{g}}{\text{L}}$ bei $\vartheta = 22^\circ\text{C}$ zu erreichen.

d) **Vervollständige** den Rechenweg entsprechend den Anweisungen i. und ii.

- i. **Berechne** das molare Volumen V_m des Wasserstoffs im Tank.

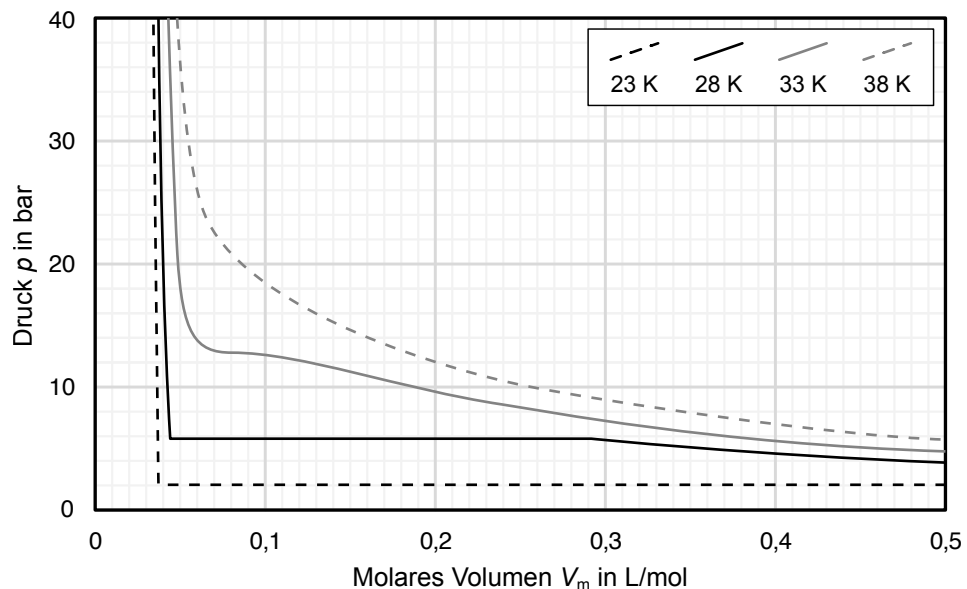
- 0
- 1
- 2

» Weiter mit: $V_m = 0,050 \frac{\text{L}}{\text{mol}}$

- ii. **Berechne** mithilfe der VAN-DER-WAALS-Gleichung den benötigten Druck p im Tank in der Einheit bar.

- 0
- 1
- 2

Der benötigte Druck, um die gewünschte Speicherdichte bei Raumtemperatur zu erreichen, ist also sehr groß, was zu erheblichen Anforderungen an die Konstruktion des Tanks sowie hohen Investitionskosten führt. Eine sinnvolle Alternative ist daher, den Wasserstoff abzukühlen und bei Temperaturen um die $-250\text{ }^{\circ}\text{C}$ zu speichern. Folgend sind einige Isothermen von Wasserstoff bei verschiedenen Temperaturen in diesem Bereich gegeben.



- e) Berechne die maximale Speicherdichte ρ_{H_2} von Wasserstoff, die mit gasförmigem Wasserstoff bei $T = 28\text{ K}$ erreicht werden kann. Gib den Druck p an, der dabei im Tank herrscht.

 0
 1
 2

Um die gewünschte Speicherdichte zu erreichen, muss Wasserstoff also zusätzlich verflüssigt werden. Bei der Verflüssigung wird Wasserstoff zunächst vorverdichtet und gekühlt, wobei er einen Druck von $p_1 = 66\text{ bar}$ und ein molares Volumen von $V_{m,1} = 0,1 \frac{\text{L}}{\text{mol}}$ erreicht (Zustand 1). Nach einem weiteren Prozessschritt erreicht der Wasserstoff schließlich die gewünschte Speicherdichte (Zustand 2), wobei sein Druck $p_2 = 2\text{ bar}$ und sein molares Volumen $V_{m,2} = 0,05 \frac{\text{L}}{\text{mol}}$ betragen.

- f) Kreuze alle Antworten an, die die Zustandsänderung von Zustand 1 zu Zustand 2 treffend beschreiben.

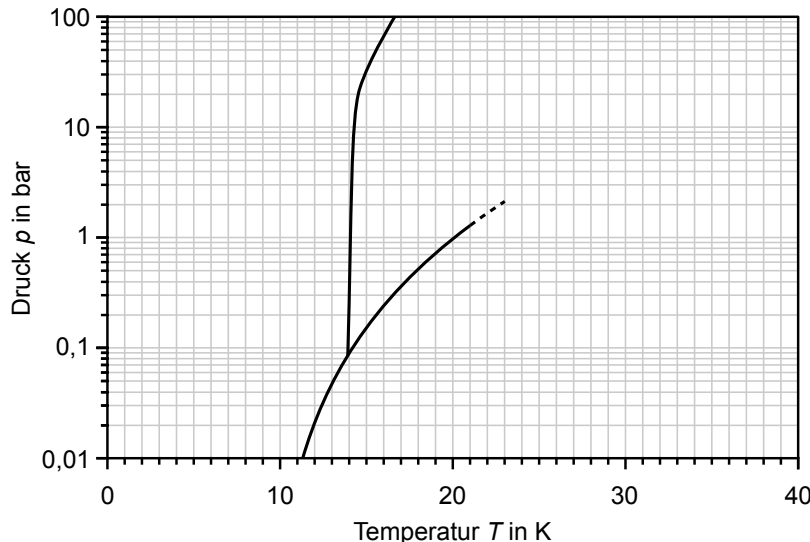
 0
 1

<input type="checkbox"/> Der Wasserstoff wird komprimiert.	<input type="checkbox"/> Der Wasserstoff wird entspannt.
<input type="checkbox"/> Die Temperatur sinkt.	<input type="checkbox"/> Die Temperatur steigt.
<input type="checkbox"/> Der Wasserstoff kondensiert vollständig.	<input type="checkbox"/> Der Wasserstoff kondensiert teilweise.

Die Verflüssigung von Wasserstoff kann auch anhand eines Phasendiagramms gut nachvollzogen werden.

g) Vervollständige das Phasendiagramm von Wasserstoff entsprechend den Anweisungen.

- i. Nachfolgend ist ein Ausschnitt aus dem Phasendiagramm von Wasserstoff gegeben. Markiere im Diagramm den Tripelpunkt von Wasserstoff.



0
 1

- ii. Bestimme mithilfe der gegebenen Isothermen die kritischen Parameter von Wasserstoff und zeichne den kritischen Punkt in das Diagramm ein.

0
 1

- iii. Bestimme mithilfe der Isothermen den Dampfdruck von Wasserstoff bei $T = 28\text{ K}$ und zeichne den zugehörigen Punkt in das Diagramm ein. Skizziere den Verlauf der Siedekurve in das Diagramm.

0
 1

- iv. Markiere im Diagramm (z.B. durch Schraffieren) den Bereich, der zu flüssigem Wasserstoff gehört.

0
 1

Im Rahmen eines neuartigen Konzepts möchte die ICHO Inc. flüssigen Wasserstoff bei einer Temperatur von $T = 28\text{ K}$ und einem Druck von $p = 20\text{ bar}$ in einem mobilen Tank speichern, um ein Wasserstoffauto zu bauen. Du sollst nun abschließend ermitteln, wie groß der benötigte Tank für das Wasserstoffauto sein müsste, damit es die gleiche Reichweite wie ein herkömmliches Benzinauto erreicht. Bei deiner Recherche stößt du auf folgende Informationen:

- In einem Wasserstoffmotor wird Wasserstoff zunächst mit Umgebungswärme verdampft und dann an Luft zu Wasserdampf verbrannt. Die Reaktionsenthalpie beträgt dabei $\Delta H_r = -242 \frac{\text{kJ}}{\text{mol}}$ pro Mol Wasserstoff.
- Benzin besitzt eine Dichte von $\rho_B = 0,75 \frac{\text{g}}{\text{ml}}$ und einen Heizwert von etwa $H_B = 41 \frac{\text{MJ}}{\text{kg}}$. Letzterer gibt dabei die bei der Verbrennung freigesetzte Energie pro kg Benzin an.
- Ein herkömmliches Benzinauto besitzt einen Tank mit einem durchschnittlichen Volumen von $V_{\text{Tank},B} = 50\text{ L}$.
- Du kannst annehmen, dass beide Autos dieselbe Menge mechanische Energie pro 100 km verbrauchen und denselben Wirkungsgrad besitzen.

h) **Vervollständige** den Rechenweg entsprechend den Anweisungen i. und ii.

i. **Berechne** die Masse m_{H_2} , die der Tank des Wasserstoffautos fassen muss.

- 0
- 1
- 2
- 3

» Weiter mit: $m_{\text{H}_2} = 13,5 \text{ kg}$

ii. **Berechne** mithilfe der gegebenen Isothermen das Volumen $V_{\text{Tank}, \text{H}_2}$ des Tanks im Wasserstoffauto.

- 0
- 1
- 2